

بررسی مشخصات مکانیکی و ظاهری کامپوزیت زمینه پلیمری جوشکاری شده توسط فرآیند التراسونیک

کارشناسی ارشد، دانشکده مهندسی مکانیک، دانشگاه تربیت دبیر شهید رجایی، تهران، ایران

استادیار، دانشکده مهندسی مکانیک، دانشگاه تربیت دبیر شهید رجایی، تهران، ایران

کارشناسی ارشد، دانشکده مهندسی مواد، دانشگاه تربیت دبیر شهید رجایی، تهران، ایران

* رضا نیکوی

نصرالله بنی مصطفی عرب

علی‌اکبر قادری

چکیده

در این تحقیق از جوشکاری التراسونیک برای اتصال لبه روی هم نمونه های استاندارد کامپوزیت پلی‌پروپیلن تقویت شده با الیاف شیشه ای با ضخامت ۴ میلی‌متر استفاده شد. استحکام کشش-برش اتصالات در شرایط گوناگون از جمله زمان، فشار، دامنه ارتعاش شیبورک و مقدار الیاف شیشه موجود در کامپوزیت، موردنبررسی قرار گرفت. به منظور کاهش تعداد آزمایش ها و هزینه ها در بررسی اثر متغیرهای ورودی بر ظاهر جوش ها و خواص مکانیکی، روش طراحی آزمایش سطح پاسخ با در نظر گرفتن چهار فاکتور سه سطحی استفاده شد. بر اساس مشاهدات آزمایشی، تأثیر تغییر پارامترها بر ظاهر جوش ها بروشنی مقایسه شد. همچنین نتایج تحقیق نشان داد که دامنه و فشار به ترتیب بیشترین و کمترین تأثیر را بر استحکام جوش دارند. بهترین وضعیت ظاهری جوش ها (کمترین مقدار عیوب در جوش ها)، در دامنه ارتعاش سی و سه میکرون، زمان جوشکاری چهاردهم ثانیه، فشار نگهداری یک و نیم بار و مقدار الیاف شیشه ده درصد وزنی به دست می آید. افزایش فشار، زمان جوشکاری و مقدار الیاف شیشه موجود در کامپوزیت بر وضعیت ظاهری جوش ها اثر منفی می گذارد و باعث افزایش میزان عیوب موجود در جوش ها می شود.

واژه های کلیدی: ظاهر جوش، استحکام کشش-برش، کامپوزیت پلی‌پروپیلن، الیاف شیشه، طراحی آزمایش.

Investigation of Mechanical and Weld Appearance Properties of Polymer Based Composites in Ultrasonic Welding Process

R. Nikoi

Faculty of Mechanical Engineering, Shahid Rajaee Teacher Training University, Tehran, Iran

N. Bani Mostafa Arab

Faculty of Mechanical Engineering, Shahid Rajaee Teacher Training University, Tehran, Iran

A. A. Ghaderi

Faculty of Material Engineering, Shahid Rajaee Teacher Training University, Tehran, Iran

Abstract

In this paper, ultrasonic lap welding process has been used for welding of standard specimens of polypropylene composites reinforced with glass fiber with 4 mm thickness. The tensile-shear strength and appearance properties of welds under was used different conditions of time, pressure and vibration amplitude and glass fiber content were investigated. To investigation the relationship between input variables and appearance properties of welds and weld strength, the response surface method to decrease the number of experiments and costs considering four factors at three levels. Based on experimental observations, effects of input parameters on appearance of welds were clearly evaluated. The results indicated that amplitude and pressure had the most and the least significant effect on the tensile-shear strength of these composites respectively. Best appearance condition of welds (which has least weld defects) was resulted at an amplitude of 33 μm , welding time of 0.4s, pressure of 1.5 bar and glass fiber content of 10%. Increase of welding pressure, time and glass fiber content in composites has negative effects on welds appearance status and causes weld defects increase.

Keywords: Appearance of welds, Tensile-shear strength, Polypropylene composite, Glass fiber, Design of experiment.

بسیاری از کاربردها می‌باشد [۲]. در خانواده‌ی رزین‌ها، سه گروه وجود دارند که عبارت‌اند از: ترموموست‌ها، ترموپلاستک‌ها و الاستومرها. می‌توان گفت که کامپوزیت‌های زمینه پلیمری به سه دسته‌ی کامپوزیت‌های ترموموست، ترموپلاستیک و الاستومر تقسیم می‌شوند [۳]. از جمله رزین‌های ترموپلاستیک می‌توان به پلی‌پروپیلن (PP) اشاره نمود که جز مهم‌ترین پلاستیک‌های مهندسی است [۴]. به همین دلیل در این تحقیق از این ماده به عنوان زمینه کامپوزیت استفاده گردید. همچنین از مهم‌ترین الیاف مورداستفاده در صنعت می‌توان الیاف شیشه، کربن و آرامید را نام برد. در این پژوهش به دلیل کاربرد فراوان و قیمت نسبتاً ارزان الیاف شیشه، از آن به عنوان ماده تقویت‌کننده در کامپوزیت استفاده شد. همچنین امروزه به دلیل کاربرد فراوان کامپوزیت‌های

۱- مقدمه

امروزه در بسیاری از کاربردهای مهندسی، به تلفیق خواص مواد نیاز است و امکان استفاده از یک نوع ماده که همه خواص موردنظر را برآورده سازد، وجود ندارد. از آنجاکه نمی‌توان ماده‌ای یافت که همه خواص فوق را دارا باشد، باید به دنبال روشی برای ترکیب خواص مواد بود. کامپوزیت‌ها خواص مکانیکی برجسته‌ای داشته و از انعطاف‌پذیری مناسبی در طراحی برخوردارند و روش‌های ساخت آن‌ها نسبتاً آسان است [۱]. کامپوزیت‌های زمینه پلیمری امروزه در صنعت از اهمیت خاصی برخوردار هستند و روزبه روز بر کاربردهای مختلف آن‌ها افزوده می‌شود. همچنین به دلیل خواص مکانیکی بالا، سبکی، مقاومت عالی در برابر خوردگی و راحتی کار با آن‌ها، جایگزین مناسبی برای فلزات در

* نویسنده مکاتبه کننده، آدرس پست الکترونیکی: reza2292@gmail.com

تاریخ دریافت: ۹۴/۰۵/۲۱

تاریخ پذیرش: ۹۴/۱۰/۰۲

پلیمر پایین ترین چگالی (حدود 0.914 gr/cm^3) را در بین تمام انواع پلاستیک‌های مهندسی دارد. پلی‌پروپیلن ضمناً از مقاومت خوب در برابر گرما، ترک‌خوردگی در اثر اعمال تنش، خواص الکتریکی و استحکام ضربه‌ی خوب برخوردار است [۱۱].

پلی‌پروپیلن را می‌توان به منظور دست‌یابی به خواص بهتر، از طریق آمیزه کاری با الیاف‌های تقویت‌کننده مانند الیاف شیشه، الیاف کربن ... اصلاح کرد. الیاف شیشه رایج‌ترین و پرمصرف‌ترین الیاف مورد استفاده در صنعت کامپوزیت است. برحسب نوع و ترکیب مواد بکار رفته در تهیه آن‌ها، الیاف شیشه به انواع مختلف تقسیم‌بندی می‌شوند. ماده اصلی تشکیل‌دهنده الیاف شیشه همانند شیشه‌های معمولی^۱، سیلیکا است. الیاف شیشه قیمت پایین، استحکام کششی بالا، مقاومت شیمیایی بالا و خواص عایقی عالی (گرمایی و الکتریکی) دارد. در این پژوهش از رایج‌ترین نوع الیاف شیشه (نوع E) استفاده شده است.

ساخت کامپوزیت ترمопلاستیک در دو مرحله اکستروژن - پرس داغ تحقق می‌یابد. توسط دستگاه اکستروژن پلی‌پروپیلن با الیاف کوتاه از جنس شیشه با درصد‌های وزنی متفاوت مخلوط گردید و ۳ نوع گرانول از ترکیب پلی‌پروپیلن با ۱۰، ۲۰ و ۳۰ درصد وزنی الیاف شیشه حاصل شد. گرانول‌های مذکور به صورت آماده از شرکت کیمیا فروز Forolen PP1045GB، PP3045GB، P2045GB با نام‌های تجاری خریداری شد. سپس این گرانول‌ها به کمک دستگاه پرس داغ به ورق‌هایی به ابعاد $200\text{m}^*200\text{mm}^*4\text{mm}$ تبدیل گردید.

پس از اجرای مراحل ساخت ورق‌ها، برای یافتن خواص مکانیکی، نمونه‌هایی طبق استاندارد ASTM-D638 [۱۲]، به کمک دستگاه فرز CNC از ورق‌ها جداگردید و توسط دستگاه کشش Zuker آلمان) با سرعت 5mm/min تحت کشش قرار گرفت. در جدول ۱ خواص مکانیکی ورق‌های ساخته شده ارائه شده است.

۲-۲-آماده‌سازی نمونه‌ها

نمونه‌های مورد استفاده در جوشکاری مطابق با استاندارد ASTM D5868 [۱۳] که در شکل ۱ نشان داده شده با استفاده از دستگاه فرز CNC از ورق‌های کامپوزیتی جدا شدند و برای فرایند جوشکاری التراسونیک آماده گردیدند. همان‌طور که در شکل ۱ دیده می‌شود این نمونه شامل دو قسم است که هر کدام به‌طور جداگانه به ابعاد $101\text{mm}^*25\text{mm}^*4\text{mm}$ از ورق‌های ساخته شدن جدا شدند. این دو قسمت در مرحله جوشکاری به صورت لبه روی هم متصل می‌شود.

۲-۳-طراحی آزمایش‌ها

طراحی آزمایش‌ها، تجزیه و تحلیل داده‌ها به کمک DOE و به روش RSM (سطح پاسخ) و با استفاده از نرم‌افزار تحلیل آماری Minitab انجام شده است. برای یافتن تأثیر پارامترها بر استحکام و مشخصات ظاهری جوش‌ها از طرح آزمایش Boxbehnken با

پلیمری در صنایع مختلف، اتصال این کامپوزیت‌ها از اهمیت زیادی برخوردار گشته و روش‌های متنوعی برای اتصال این مواد توسعه یافته‌اند [۵].

X.Y.Dai و همکارانش [۶]، به بررسی خواص مکانیکی اتصال نمونه‌های پلی‌پروپیلنی تقویت شده با الیاف کوتاه و بلند شیشه ای که به روش ارتعاشی جوشکاری شدند، پرداختند و آنها دریافتند که اتصالات کامپوزیت حاوی $30\text{ درصد وزنی الیاف شیشه بهتر از کامپوزیت حاوی }40\text{ درصد الیاف شیشه است. G.H.Payeganeh و همکارانش [۷]، استحکام و ظاهر اتصال ایجاد شده به شکل لب به لب به روش جوشکاری اصطکاکی اغتشاشی این کامپوزیت‌ها را مورد تحلیل تجربی قرار دادند و دریافتند که پارامتر سرعت دورانی اثر بیشتری نسبت به سرعت خطی و زاویه گلگی بر استحکام اتصالات می‌گذارد. و همچنین هیدی احمدی [۸]، به روش تاگوجی استحکام و ظاهر اتصال لبه روی هم نمونه‌های کامپوزیتی پلی‌پروپیلن تقویت شده با الیاف شیشه و الیاف کربن راکه به روش اصطکاکی اغتشاشی اتصال یافته بودند، به طور تجربی بررسی کرد. او هندسه‌ی پین مورد استفاده در فرایند جوشکاری اصطکاکی اغتشاشی را نیز به همراه پارامترهای سرعت دوران پین، سرعت خطی و زاویه گلگی بررسی کرد.$

روش‌های جوشکاری کامپوزیت‌ها بر اساس مکانیزم تولید گرما در خط اتصال به سه دسته جوشکاری اصطکاکی، جوشکاری گرمایی و جوشکاری الکترومغناطیسی تقسیم‌بندی می‌شود که جوشکاری التراسونیک در دسته جوشکاری اصطکاکی قرار دارد [۹]. با توجه به مزایای جوشکاری التراسونیک در اتصال کامپوزیت‌ها از جمله؛ بالا بودن سرعت فرایند، کوچک بودن منطقه متأثر از گرما، بهره‌وری بالا و... از این فرایند برای اتصال کامپوزیت مورد تحقیق استفاده شد [۱۰]. هدف از این پژوهش، یافتن نحوه اثر پارامترهای فرایند جوشکاری التراسونیک بر کیفیت ظاهری و نیز خواص مکانیکی جوش‌های به وجود آمده در اتصال پلی‌پروپیلن تقویت شده با الیاف شیشه است. برای رسیدن به این هدف، ورق‌های کامپوزیتی پس از فرایند ساخت، طبق روش طراحی آزمایش سطح پاسخ^۱ به صورت لبه روی هم توسط فرایند جوشکاری التراسونیک، به هم اتصال یافتند. در طراحی آزمایش، پارامترهای اصلی فرایند جوشکاری التراسونیک شامل فشار نگهداری قطعات، دامنه ارتعاش شیپورک و زمان جوشکاری به عنوان متغیرهای ورودی در نظر گرفته شد. علاوه بر پارامترهای فرایند، مقدار الیاف شیشه نیز به دلیل تأثیرگذاری فرآوشن بر خواص جوش به وجود آمده، به عنوان یکی دیگر از پارامترهای ورودی در طراحی آزمایش وارد شدند. کیفیت ظاهری و اندازه نیروی شکست جوش‌ها نیز به عنوان متغیر خروجی، بررسی گردیدند.

۲-مبانی و روش‌ها

۲-۱-خصوصیات مواد اولیه

ماده زمینه‌ی کامپوزیت مورد استفاده در این تحقیق پلی‌پروپیلن انتخاب گردید. پلی‌پروپیلن یک الفین ترمومپلاستیک بلوری است که مجموعه‌ای از خواص فوق العاده را با قیمت نسبتاً کمی دارد. این

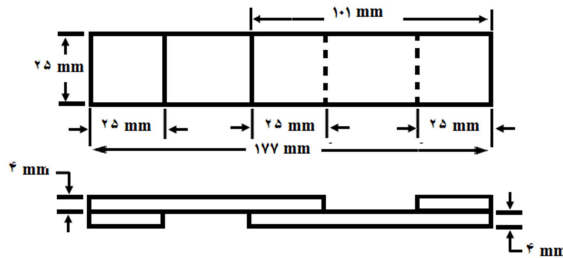
² Soda lime Glass

¹ Response Surface Method

۲ فیکسچر و نحوه قرار گرفتن نمونه‌ها درون فیکسچر را نشان می‌دهد.
هورن نیز از نوع افزاینده دامنه و از جنس آلمینیوم آلیاژی ساخته شد.

۴-۵- انجام جوشکاری و آزمون کشش-برش

پارامترهای فرآیند جوشکاری التراسونیک طبق جدول طراحی آزمایش بر روی دستگاه جوشکاری (Maxwhite) ساخت کشور تایوان تنظیم گردید و نمونه‌ها تحت شرایط موجود در جدول ۳، تحت عملیات جوشکاری التراسونیک قرار گرفتند. در شکل ۳ دستگاه جوشکاری، شیپورک و فیکسچر مورد استفاده در این تحقیق دیده می‌شود. در شکل ۴ تا ۷ تصاویر جوش‌های به وجود آمده در شرایط مختلف به نمایش گذاشته شده است. برای به دست آوردن نتایج علمی از تأثیر پارامترها بر کیفیت جوش‌ها به شکل ظاهری نمونه‌ها اکتفا نکرده و نمونه‌ها برای بررسی خواص مکانیکی آماده گردیدند. نمونه‌های جوشکاری شده، به کمک دستگاه آزمون کشش (Zuker-آلمان) در دمای اتاق و با سرعت کشش ۵mm/min تحت آزمون کشش-برش قرار گرفتند و نیروی شکست آن‌ها به عنوان پاسخ آزمایش‌ها ثبت گردید و در جدول ۳ با عنوان نتیجه آزمایش وارد شده است. از نیروی به دست آمده از شکست نمونه‌ها، برای مدل‌سازی رابطه تجربی نیروی شکست جوش‌ها، استفاده شد.



شکل ۱- ابعاد و شکل هندسی نمونه‌های آزمایش کشش - برش [۱۳]

در نظر گرفتن چهار پارامتر فشار، زمان، دامنه ارتعاش و مقدار الیاف شیشه موجود در کامپوزیت در سه سطح، استفاده شد.

جدول ۲ پارامترهای ورودی و سطوح هریک از آنها را نشان می‌دهد. در جدول ۲، کد ۱ بیانگر کمترین مقدار، کد ۲ بیانگر مقدار توسط و کد ۳ بیانگر بیشترین مقدار برای چهار فاکتور موردنظر است.

جدول ۳، آرایه آزمایش‌های مورد استفاده در این تحقیق را به صورت کد شده نشان می‌دهد. ۲۷ آزمایش مطابق با جدول ۳ و به طور درهم و نامرتب انجام شدند تا از بروز خطای سیستمی جلوگیری شود. به دلیل بالا بودن هزینه آزمایشات این آزمایشات تنها ۲ بار تکرار گردید.

۴-۲- ساخت فیکسچر و هورن

برای انجام فرآیند جوشکاری باید تمهیداتی در نظر گرفته شود تا قطعه کار در حین فرآیند کاملاً ثابت باشد و تغییر موقعیت ندهد. برای این منظور فیکسچری از جنس فیبر استخوانی تهیه و ساخته شد. شکل

جدول ۱- خواص مکانیکی ورق‌های کامپوزیتی ساخته شده

نوع ماده	مدول الاستیک (MPa)	تنش کششی در شکست (MPa)	ازدیاد طول در شکست (%)
کامپوزیت پلی‌پروپیلن با ۳۰٪ الیاف شیشه	۳۴۵۱	۲۵/۳	۱۳/۲
کامپوزیت پلی‌پروپیلن با ۲۰٪ الیاف شیشه	۴۷۲۹	۴۳/۹	۱۵/۹
کامپوزیت پلی‌پروپیلن با ۱۰٪ الیاف شیشه	۲۷۰۷	۳۲/۸	۱۶/۳



شکل ۳- شیپورک و دستگاه جوشکاری التراسونیک



شکل ۲- فیکسچر نمونه‌ها برای جوشکاری

الف



ب



شکل ۴- جوش ایجاد شده بر روی (الف) نمونه شماره ۱۱(ب) نمونه شماره ۱۲

الف



ب



شکل ۵- تصاویر جوش ایجاد شده بر روی (الف) نمونه شماره ۱۴(ب) نمونه شماره ۱۳

الف



ب

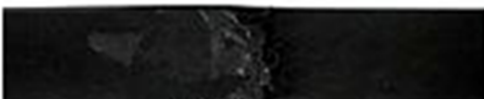


شکل ۶- تصاویر جوش ایجاد شده بر روی (الف) نمونه شماره ۱۵(ب) نمونه شماره ۱۳

الف



ب



شکل ۷- تصاویر جوش ایجاد شده بر روی (الف) نمونه شماره ۲۱(ب) نمونه شماره ۲۳

۳- تحلیل نتایج و مدلسازی

در ابتدا نتایج به دست آمده از آزمایش کشش برش یعنی بیشینه نیرویی که اتصالات تحمل کردند به عنوان پاسخ، به محیط نرم افزار وارد گردید. سپس داده‌ها به کمک نرم افزار، مورد دو مرحله آنالیز قرار گرفت. در مرحله اول یک رابطه ریاضی (چندجمله‌ای درجه ۲) برای پیش‌بینی نیروی شکست جوش‌ها به دست آمد که این رابطه همه پارامترهای فشار نگهداری، زمان جوشکاری، دامنه ارتعاش شیبورک و مقدار الیاف موجود در کامپوزیت‌ها و نیز همه پارامترهای پارامترها را شامل می‌شود و در مرحله دوم بی‌تأثیر پس از تشخیص در مرحله قبل، از لیست عامل‌های تأثیرگذار حذف و مدل نهایی نیروی شکست جوش‌ها (به کمک رگرسیون) حاصل شد. جدول آنالیز واریانس نهایی برای بررسی میزان اثر پارامترها و نیز نمودار T-Student برای تشخیص کفايت مدل مورداستفاده واقع شدند.

جدول ۲- پارامترهای موثر و سطوح آنها

مقادیر کدها	فشار نگهداری (bar)	دامنه امواج التراسونیک (μm)	زمان جوشکاری (s)	مقدار الیاف شیشه (%)
۱	۱/۵	۲۷	۰/۴	۱۰
۲	۲	۳۰	۰/۸	۲۰
۳	۲/۵	۳۳	۱/۲	۳۰

جدول ۳- آرایه آزمایش‌ها

پاسخ	فاکتورها				شماره آزمایش
نیروی شکست (بیوتون)	مقدار الیاف شیشه (%)	زمان جوشکاری (s)	دامنه ارتعاش (mμ)	فشار (bar)	
۲۰۷۰	۲	۲	۱	۱	۱
۱۷۶۵	۲	۲	۱	۳	۲
۱۸۳۰	۲	۲	۳	۱	۳
۱۷۹۵	۲	۲	۳	۳	۴
۱۳۵۴	۱	۱	۲	۲	۵
۱۶۴۲	۱	۳	۲	۲	۶
۱۴۰۴	۳	۱	۲	۲	۷
۱۳۷۶	۳	۳	۲	۲	۸
۱۹۲۹	۱	۲	۲	۱	۹
۱۸۹۱	۱	۲	۲	۳	۱۰
۱۴۵۰	۳	۲	۲	۱	۱۱
۱۳۹۵	۳	۲	۲	۳	۱۲
۱۷۰۹	۲	۱	۱	۲	۱۳
۱۹۹۳	۲	۱	۳	۲	۱۴
۱۶۰۶	۲	۳	۱	۲	۱۵
۱۸۱۲	۲	۳	۳	۲	۱۶
۲۱۰۱	۲	۱	۲	۱	۱۷
۱۸۶۷	۲	۱	۲	۳	۱۸
۱۵۹۷	۲	۳	۲	۱	۱۹
۱۸۶۴	۲	۳	۲	۳	۲۰
۱۷۲۰	۱	۲	۱	۲	۲۱
۱۶۳۸	۱	۲	۳	۲	۲۲
۱۵۵۵	۳	۲	۱	۲	۲۳
۱۰۶۹	۳	۲	۳	۲	۲۴
۱۹۲۱	۲	۲	۲	۲	۲۵
۲۰۱۷	۲	۲	۲	۲	۲۶
۱۹۸۰	۲	۲	۲	۲	۲۷

می شود. با مشاهده مقادیر P و F جدول آنالیز واریانس ، می توان میزان اثر عوامل مختلف روی پاسخ را فهمید. مقدار P هرچه کمتر و مقدار F هرچه بیشتر باشد، تأثیر آن عامل بر پاسخ بیشتر خواهد بود. با در نظر گرفتن ضریب آلفا (α) برابر 0.05 (سطح اطمینان ۹۵ درصد^۳، مقادیر P هر عامل که بیشتر از 0.05 باشد آن عامل تأثیر به سزایی بر پاسخ نخواهد داشت، و می توان با در نظر گرفتن تقریب در نوشتن رابطه رگرسیون جدید، واژه مربوط به آن عامل را حذف نمود و از تأثیر آن صرف نظر کرد^۴[۱۵،۱۶]. از جدول ANOVA می توان درباره میزان اثرگذاری پارامترهای فرایند جوشکاری التراسونیک روی استحکام نتایج زیر را دریافت. در مورد فاکتورهای خطی^۵ می توان دریافت که؛ اثر دامنه ارتعاش شیپورک بر استحکام از سه پارامترهای بیشتر بوده است. کمترین تأثیر بر استحکام را، در بین پارامترهای جوشکاری، فشار پرس بر عهده خواهد داشت. اما درباره تأثیر کنش- واکنشها (اثرات متقابل)^۶، می توان فهمید که؛ تأثیر کنش-واکنش دامنه-زمان نسبت به بقیه کنش-واکنشها بیشتر است. همچنین کنش-واکنش فشار-الیاف و نیز عامل مجذور فشار و مجذور زمان در مرحله تحلیل اولیه بدلیل داشتن مقدار P بیشتر از 0.05 به عنوان ترم های بی تأثیر شناخته شدن، و در مرحله تحلیل نهایی از لیست واژه ها حذف شدند. جدول آنالیز واریانس که از تحلیل نهایی به دست آمده است (پس از حذف ترم های بی تأثیر) به صورت جدول ۴ ارائه شده است. که رابطه رگرسیون حاصل از این تحلیل (مدل نهایی پاسخ) دارای ۱۱ درجه آزادی است.

۳-۳-نمودار T-Student و نمودار Residual

از نمودار مانده ها^۷ که در شکل ۸ نشان داده شده است می توان دریافت که مانده های به دست آمده از نتایج دارای توزیع مناسبی هستند و تغییرات مانده ها بر حسب شماره آزمایش ها، ریتم خاصی ندارد و همچنین نمودار هیستوگرام موجود نشان می دهد که توزیع مانده ها، دارای منحنی نرمال است و در نمودار احتمال نرمال درصد بالایی از مانده ها روی خط نرمال قرار دارند و یا خیلی از آن انحراف ندارند. در شکل ۹ مقایر مانده های استاندارد بر حسب شماره آزمایش ها به صورت نمودار T-Student آورده شده است.

۴-۳-مدل نهایی

با توجه به مقدار P مربوط به هر واژه موجود در جدول آنالیز واریانس اولیه، برای به دست آوردن رابطه رگرسیون جدید و ساده تر، از نوشتن واژه های مجذور فشار (A^2) و مجذور زمان (C^2) ، حاصل ضرب فشار در درصد الیاف (AD) در رابطه نهایی نیرو، به دلیل دارا بودن مقدار P کمتر از 0.05 (سطح اطمینان ۹۵ درصد)، خودداری شد.

۱-۳-بررسی ظاهر جوشها

همانطور که از جدول طراحی آزمایش می توان فهمید فقط بعضی از آزمایش ها برای تشخیص اثر تغییر در سطوح هر پارامتر در نظر گرفته شده است که فقط تصویر این نمونه ها برای بررسی اثر تغییر هر پارامتر بر ظاهر جوشها قابل استفاده است (مثلا در شرایط آزمایش نمونه های ۱۱ و ۱۲ فقط پارامتر فشار تغییر کرده است که تصویر آنها برای مقایسه عیوب ظاهری در اثر تغییر فشار استفاده شده است) و بقیه آزمایشات برای تشخیص رابطه رگرسیون استحکام لازم الاجراستند. تصاویر ۴ تا ۷ برای بررسی ظاهر جوشها و تأثیر تغییر هر پارامتر از سطح جوشها توسط دوربین عکاسی دیجیتال با رزو لوشن ۱۱ مگا پیکسل به دست آمده است. با مشاهده تصویر ۴ می توان اثر تغییر فشار را بر شکل جوش های ایجاد شده دریافت. تصویر ۴الف و ۴ب به ترتیب نمونه های جوشکاری شده در فشار یک و نیم بار و دو و نیم بار را نمایش می دهد. این تصاویر نشان می دهد که افزایش فشار باعث بهبود وضعیت جوش نشده است و برعکس باعث افزایش مقدار بیرون زدگی مذاب و درنتیجه کاهش استحکام شده است. در تصویر ۵ اثر تغییر دامنه ارتعاش شیپورک بر ظاهر جوش مشخص است. تصویر ۵الف و ۵ب به ترتیب نمونه های جوشکاری شده در دامنه سی و سه میکرون و بیست و هفت میکرون را نمایش می دهد. طبق تصویر ۵، افزایش دامنه باعث افزایش نفوذ شده در حالی که بیرون زدگی مذاب اتفاق نیافتد است. در تصویر ۶ ظاهر نمونه های باهم مقایسه شده اند که تنها مقدار پارامتر زمان جوشکاری در جوشکاری آنها متفاوت بوده است. تصویر ۶alf و ۶ub به ترتیب نمونه های جوشکاری شده در زمان یک و دو و هم ثانیه و چهار دهم ثانیه را نمایش می دهد. همان طور که از تصویر ۶ پیداست افزایش زمان نیز مانند افزایش فشار اثر منفی بر ظاهر جوشها گذاشته و علاوه بر بیرون زدگی مذاب باعث چسبیدن مقداری از مواد موجود در حوضچه مذاب به سطح فیکسچر شده است. تصویر ۷ برای مشاهده اثر مقدار الیاف شیشه بر ظاهر جوش به نمایش گذاشته شده است تصویر ۷الف و ۷ب به ترتیب نمونه های جوشکاری شده دارای ۵ درصد و سی درصد الیاف شیشه را نمایش می دهد. و همان طور که در تصاویر مشخص است هرچه مقدار الیاف کمتری در منطقه حوضچه موجود باشد نفوذ پلی پروپیلن افزایش یافته و سطح بیشتری برای اتصال پلی پروپیلن-پلی پروپیلن وجود دارد و نیز به دلیل چسبندگی ضعیف الیاف شیشه به پلی پروپیلن، افزایش مقدار الیاف شیشه نه تنها اثر مثبتی بر استحکام جوشها ندارد بلکه از استحکام جوشها کم می کند. همان طور که از ظاهر جوشها می توان نتیجه گرفت برای رسیدن به بهترین نوع جوشها باید فشار و زمان را در کمترین سطح محدوده و دامنه را در بالاترین مقدار محدوده تنظیم کرد در حالی که مقدار الیاف شیشه نزدیک به مقدار ۱۰ درصد باشد. برای تائید موارد ادعاهشده در این بخش، نتایج آزمون های مکانیکی در جدول ۳ ارائه گردیده است.

۲-۳-آنالیز واریانس (ANOVA)

در جدول آنالیز واریانس^۸، مقادیر مجموع مربعات^۹، میانگین مربعات^{۱۰}، درجه آزادی^{۱۱}، مقادیر P^{۱۲} و F^{۱۳} مربوط به هر عامل نشان داده

¹Analysis Of Variance

²Sum of Squares

خواهد آمد (مقدار بهینه که به کمک نرم‌افزار تشخیص داده شد). همچنین با توجه به تصاویر ارائه شده در شکل‌های ۴ تا ۷ می‌توان به همین نتیجه رسید.

۳-۵- بررسی مقدار خطای مدل نهایی

با انجام ۵ آزمایش اضافه که در جدول ۵ نشان داده شده است مقدار نیروی گسیختگی به دست آمده از طریق آزمایش با مقدار نیروی تخمینی که از رابطه تجربی (۱) به دست آمد، مقایسه شد و مقدار خطای مدل تجربی محاسبه شد. همان‌طور که از جدول ۵ پیداست حداقل خطای رابطه (۱) به اندازه $6/41\%$ بوده است و این نشان می‌دهد که رابطه تجربی حاصل از این تحقیق دارای دقت قابل توجهی است.

در این مرحله، رابطه رگرسیونی نهایی به دست آمده است که به صورت رابطه (۱) بیان می‌شود.

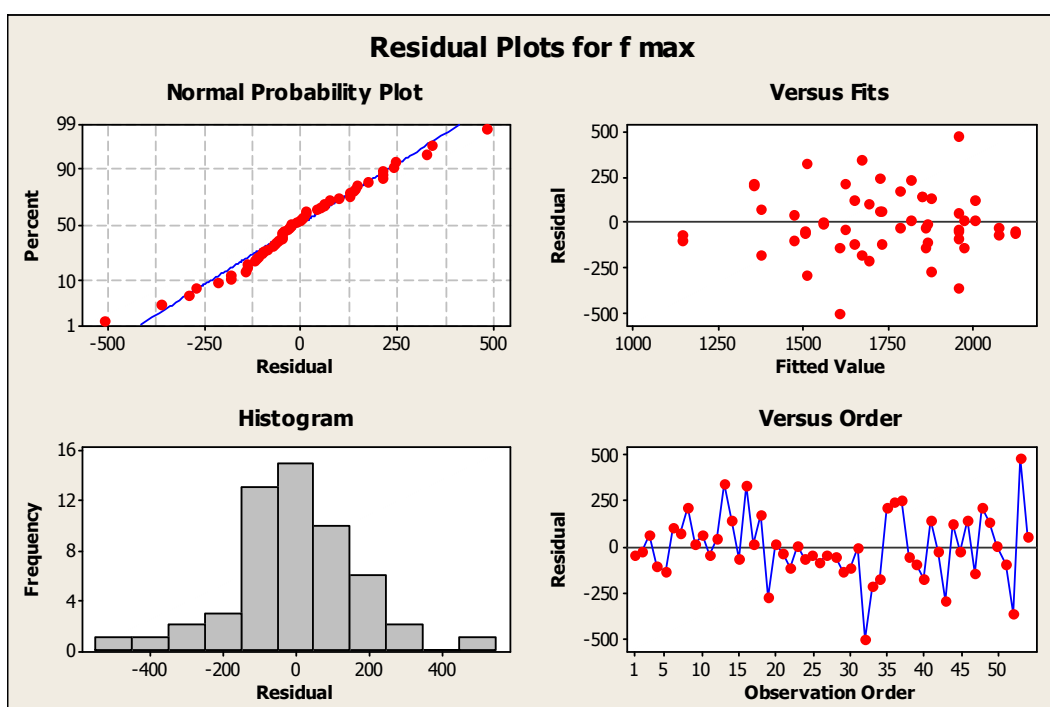
$$F_{max} = -15021 - 2404A + 1103.5B + 5332.8C + 152.4D - 16.7B^2 - 2.7D^2 + 66.7AB + 427.8AC - 249BC - 3.7BD + 54.8CD \quad (1)$$

که در رابطه (۱) F_{max} : نیروی گسیختگی پیش‌بینی شده (نیوتن)، A : فشار (بار)، B : دامنه (میکرون)، C : زمان (ثانیه)، D : مقدار الیاف شیشه (درصد وزنی) است. رابطه (۱) مدل نهایی پیش‌بینی نیروی گسیختگی اتصالات نمونه‌های کامپوزیتی است که به روش التراسونیک جوشکاری شده‌اند. با داشتن پارامترهای فشار، دامنه، زمان، مقدار الیاف شیشه؛ می‌توان مقدار نیروی گسیختگی اتصال ایجاد شده را با این مدل با دقت بسیار خوبی تخمین زد. بر اساس این رابطه اگر مقدار الیاف 10% درصد، دامنه ارتعاش 33 میکرون، فشار و زمان به ترتیب $1/5$ بار و $4/۰$ ثانیه انتخاب شود ماکریم مقدار نیروی گسیختگی جوش‌ها به دست

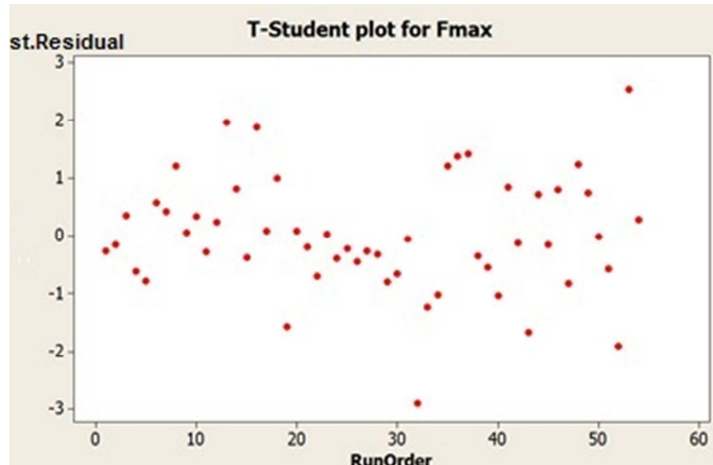
جدول ۴- آنالیز واریانس نیروی گسیختگی جوش (پس از حذف جملات نامؤثر)

Source	Sum of squares	df	Mean square	F-value	P value prob.	Significance
Regression	3128294	11	284390	26.16	0.000	*
Linear	1124265	4	169177	15.56	0.000	*
Pressure	15656	1	109078	10.04	0.003	*
amplitude	209616	1	250447	23.04	0.000	*
Time	29410	1	208173	19.15	0.000	*
%GF	869583	1	148869	13.70	0.001	*
Square	1097543	2	392997	36.16	0.000	*
Amplitude * Amplitude	51514	1	227734	20.95	0.000	*
%GF*%GF	1046029	1	693607	63.81	0.000	*
Interaction	906487	5	181297	16.68	0.000	*
Pressure*Amplitude	80120	1	80120	7.37	0.010	*
Pressure*Time	19317	1	36915	3.40	0.074	*
Amplitude*Time	506367	1	514768	47.36	0.000	*
Amplitude*%GF	96657	1	96657	8.89	0.005	*
Time*%GF	204025	1	204025	18.77	0.000	*
Residual error	358692	33	10869			
Pure error	225614	22	10255			
Total	3486986	44				

$$S = 104.257 \quad PRESS = 727787 \\ R-Sq = 89.71\% \quad R-Sq(pred) = 79.13\% \\ R-SQ(ADJ) = 86.28\%$$



شکل ۸- نمودار مانده‌های به دست آمده از تحلیل نیروی گسیختگی جوش



شکل ۹- نمودار T-Student بددست آمده از تحلیل نیرو

جدول ۵- آزمایش های ارزیابی مدل

آزمایش	فشار (bar)	دامنه ارتعاش (μm)	زمان جوشکاری (s)	الیاف شیشه (%)	نیروی واقعی (N)	نیروی تخمینی (N)	خطا (%)
۱	۱/۵	۲۷	۰/۴	۳۰	۱۲۵۵/۶۲	۱۱۹۷/۷۵	۴/۶
۲	۲/۵	۳۰	۰/۸	۲۰	۱۹۴۱/۷۵	۱۸۱۷/۱۴	۶/۴۱
۳	۱/۵	۳۳	۱/۲	۲۰	۱۱۱۲/۶۳	۱۰۵۴/۰۵	۵/۲۶
۴	۲	۳۰	۰/۸	۱۰	۱۹۰۱/۴۹	۱۸۰۵/۱۲	۵/۰۶
۵	۲/۵	۳۳	۱/۲	۱۰	۱۲۹۴/۸۴	۱۲۱۳/۹۱	۶/۲۵

[3] Mazumdar S.K., Composites manufacturing, Materials, Product, and Process Engineering, by CRC Press LLC, 2002.

[4] مسعود اسماعیلی، کامپوزیت ها، نشر طراح، ویرایش سوم، سال ۱۳۸۵.

[5] Taylor N.S., and Watson M.N., Welding techniques for plastics and composites, Joining and Materials, pp. 70-73, 1988.

[6] Dai X.Y., Bates P.J., Mechanical properties of vibration welded short- and long-glass-fiber-reinforced polypropylene, Composites, Part A, 39,pp. 1159-1166, 2008.

[7] Payeganeh G.H., Mostafa Arab N.B., Dadgar Asl, Y., Ghasemi F.A., and Saeidi Boroujeni M., Effects of friction stir welding process parameters on appearance and strength of polypropylene composite welds, International Journal of the Physical Science, Vol.6(19), pp.4595-4601, 2011.

[8] [۸] احمدی، هدی، تحلیل تجربی تأثیر پارامترهای فرآیند جوشکاری اصطکاکی

اغتشاشی بر خواص مکانیکی جوش لبه روی هم کامپوزیت پلی پروپیلن، پایان نامه کارشناسی ارشد، دانشگاه تربیت دبیرشیه در جایی، ۱۳۹۱.

[9] Yousef pour A., Hojjati M., Immarigeon J.P., Fusion bonding/welding of thermoplastic composites. J. Journal of Thermoplastic Composite Materials, Vol 17(4), pp. 303-41, 2004.

[10] Benatar A., and Gutowski T.G. Ultrasonic welding of PEEK graphite APC-2 composites, Polymer Engineering and Science, Vol. 29(23), pp. 1705-1721, 1989.

[11] باقرپور ابراهیم، جوشکاری پلاستیک ها، رجاء تهران، جلد اول، سال ۱۳۸۴.

[12] Standard test method for tensile strength of Plastic, Annual book of ASTM standard, D 638, 2002.

[13] Standard test method for Lap Shear Adhesion for Fiber Reinforced Plastic (FRP), Annual book of ASTM standard, D 5868, 2002.

[14] S. Montgomery D. C, Design and analysis of experiments, Wiley, J. & Sons, 2ed Edition, New York, 1984.

[15] Nikoi R., Sheikhi M. M., Bani Mostafa Arab, N., Experimental Analysis of Effects of Ultrasonic Welding on Weld Strength of Polypropylene Composite Samples, IJE TRANSACTIONS C: Aspects, Vol. 28, No. 3 pp. 447-453, 2015.

۵-نتیجه گیری

با توجه به بررسی های انجام شده بر روی خواص مکانیکی و ظاهر جوش ها در اتصال کامپوزیت پلی پروپیلن در حالت لبه روی هم و تحلیل داده ها به کمک DOE و روش سطح پاسخ نتایج زیر حاصل شد:

۱- از جدول آنالیز ارائه شده می توان دریافت که دامنه ارتعاش هورن بیشترین اثر را بر استحکام جوش می گذارد و پس از آن، زمان، مقدار الیاف شیشه و فشار به ترتیب در رتبه های بعدی از نقطه نظر میزان انگذاری قرار دارند.

۲- از بین کنش-واکنش ها، دامنه-زمان دارای بیشترین تأثیر بر استحکام است.

۳- افزایش پارامترهای فشار، زمان جوشکاری التراسونیک و نیز مقدار الیاف شیشه بر کیفیت ظاهری جوش ها اثر منفی می گذارد و میزان عیوب جوش ها را افزایش می دهد.

۴- براساس بررسی ظاهری جوش ها و نیز آزمایشات مکانیکی انجام شده در این تحقیق، اگر زمان جوشکاری $4/4$ ثانیه، دامنه ارتعاش هورن 33 میکرون، فشار نگهداری $1/5$ بارو مقدار الیاف شیشه 10 درصد انتخاب شود نمونه های کامپوزیتی جوشکاری شده توسط روش التراسونیک کمترین میزان میزان عیوب ظاهری و بیشترین استحکام کششی-برشی را خواهد داشت.

۶- مراجع

[1] Beheshti, M.H., Rezadoost, A.M., Reinforced Plastics (Composites), Iran polymer & petrochemical Institute, 2005.

[2] Chawla K.K., Composite materials, Springer-Verlag, New York, pp. 58-66, 1986.